

II-225 砂層塩分の流水による拡散

九州工業大学
山口大学工学部

正員 浦 勝
学生員 山中 美樹

水域の水質を予測する上で底質に含有する物質の水中への拡散量を評価することは重要な課題である。拡散物質として、測定が容易な食塩を採用し、底質としては砂および碎石層を用いて、実験槽について測定した塩分濃度分布より、拡散量を算出する上で必要な諸量について検討を行った。

1. 静置拡散時の境界面濃度と拡散係数について。

底層より上方にある水が流動しない場合の拡散実験を図-1に示す。実験槽を用いて、底層内・水中の塩分濃度の測定により行った。

これより境界面濃度 S_b はほぼ瞬間に一定値になり、不变と推定される。この値に対して前報¹⁾では最終平衡濃度と解釈していたが、これでは不合理な点があり、今回次のように規定した。

$$\text{砂層中の濃度: } (S^* - S) / (S^* - S_b) = 1 - \operatorname{erf}(\frac{z}{2\sqrt{Dt}}) \dots (1)$$

$$\text{静水中の濃度: } (S - S_0) / (S_b - S_0) = 1 - \operatorname{erf}(-\frac{z}{2\sqrt{D_0 t}}) \dots (2)$$

ここで、 S^* : 砂層内初期濃度、 S_0 : 静水中初期濃度、 z : 境界面以下向きを正とする長さ、 D : 砂層中の拡散係数、 D_0 : 静水中拡散係数、 t : 時間、 $\operatorname{erf}(x) = (\frac{2}{\sqrt{\pi}}) \int_0^x e^{-t^2} dt$ 。

濃度分布が式(1), (2)で表されると仮定すると、砂層より境界面へ流入する塩分量と、境界面より静水中へ輸送される量は等しいから、次式が成立する。

$$\lambda AD (\partial S / \partial z)_{z=0} = AD_0 (\partial S / \partial z)_{z=0} \dots \dots (3)$$

ここで、 λ : 底層空隙率、 A : 境界面表面積である。

式(3)に(1), (2)を代入して、 $S_0 / S^* \ll \lambda (D/D_0)^{1/2}$ である

場合に S_b は次のように表される。

$$S_b / S^* = r\lambda / (1 + r\lambda) \dots \dots \dots (4)$$

$$\text{ここで } r = (D/D_0)^{1/2} \dots \dots \dots (5)$$

静水中の拡散係数 D_0 は、何ら搅乱が与えられなければ液中の分子拡散係数 D_M を用いることとする。

式(5)の右辺の値についてはこの D_M を用いて、前報¹⁾より、

$$D/D_M = \sqrt{\lambda} = r^2 \dots \dots \dots (6)$$

となるから、式(6)を(4)に代入して次式となる。

$$S_b / S^* = \lambda^{1/2} / (1 + \lambda^{1/2}) \dots \dots \dots (7)$$

この関係は底層として、砂、ガラスビーズ、碎石、混合(粒径)碎石を用いて、 $\lambda = 0.36 \sim 0.54$ の範囲で、ほぼ実測値を満足する。

図-1

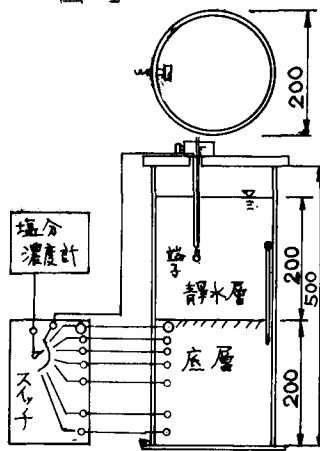
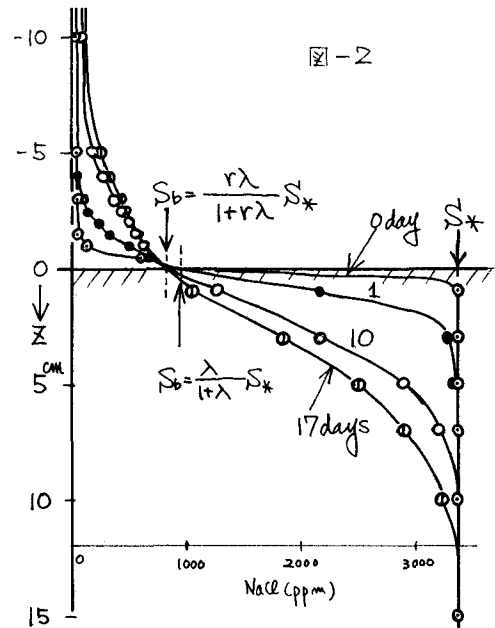


図-2



式(6)の仮定は多孔体内での気体と单一気体中の電気伝導度の比を $K\%$ としておき、 $K\% = 1/(F\lambda)$ で表され、 $1/F$ が λ^2 に比例するときこれが成り立つ。よし、 $K\% \approx \lambda^2$ となり、多孔体中の拡散係数を式(6)にては妥当と考えらる。

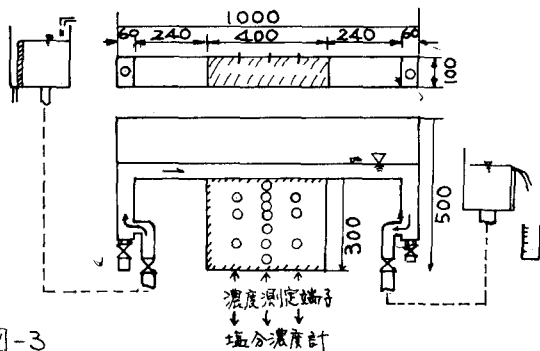
2. 上層流体運動による底層内の拡散係数の変化について.

底層上方の流体が流動する場合の実験は図-3に示す装置を用いて、底層内の塩分濃度を測定した。この場合は砂層内に浸透流を生じ、拡散方程式の中に輸送項を考慮しなければならぬ。

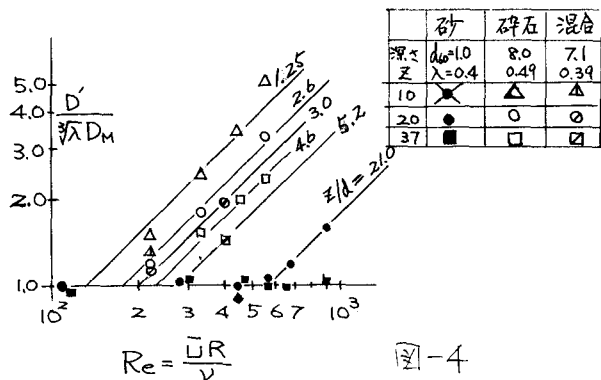
しかし、ここでは背面止拡散のモデルを延長し、境界面濃度が S_0 となると可逆で、その他いろいろな拡散係数の変化という形で評価を行った。

拡散係数の算出は、底層の一定深さに埋め込まれた端子の得る塩分濃度の時間的变化から、次式に適合する値を逆算するという方法とした。

$$\frac{(S_* - S)}{(S_* - S_0)} = 1 - \operatorname{erf} \left(\frac{z}{2\sqrt{D\tau}} \right) \quad \dots \dots (8)$$



四-3



[REDACTED] - 4

底層材料については図-4に記入したように、砂、碎石、混合碎石を用いた。流れが底層に及ぶと拡散係数が増加する。増加した後の拡散係数 D と静止底層内の拡散係数 D_M の比を総軸にとり、流水平均流速 V 、経深 R を用いて流れの Re 数を横軸にとって、各測定点ごとの拡散係数を示したもののが図-4である。図の直線は Re 数に比例する線であり、底層の代表粒径(通過60%粒径)を用いて表した相対深度 α/α_0 を記入した。これより、相対深度が同一であれば拡散係数は Re 数に比例して増加し、 Re 数が大きいほど相対深さの深い所まで拡散係数に影響する。また微粒子径の底層では、流れの場合は深部にではなく、極く表層の部分とすることがわかる。このように上層流体の流動の効果は相対深度の大きさによって、簡単に表示し得るようである。これらの関係については、今後さらに検討を進めていと考えている。

底層からの単位面積あたりの浸出塩分量は式(3)を時間に因て積分して次式のように求められる。

流れのえくとうの場合は式(4)より $D = \sqrt{DM}$ とすればいいが、図-4によると流れによる拡散係数は場所的変化があり場合の平均値を総括拡散係数 DA を用いて表す方がよい。この値について現在整理中である。最後に本実験に協力いただいた山口大学工学部卒業生水野弘一、中村孝行、曾我好志の諸氏に感謝の意を表します。

参考文献 1) 浦、増田:砂層孔隙水中的拡散方程式について;山口大学工学部研究報告
浦、増田:河口底土中の拡散浸出について;土木学会27回年譲 II 部54.7.15~
vol. 23, No. 2 (1972) P67~
2) Fried & Coimbra: Dispersion in Porous Media; P193.
Advances in Hydroscience, vol. 7 1971. Academic Press